

توسعه مدل سینتیکی برای پیش بینی رفتار انحلال مولیبدنیت فعال سازی شده به روش مکانیکی*

حسین شالچیان^(۱) هادی نصیری^(۲) ابوالفضل باباخانی^(۳) معصومه ترابی پاریزی^(۴)

چکیده

در این پژوهش، سینتیک واکنش انحلال کنسانتره مولیبدنیت فعال سازی شده به روش مکانیکی بررسی می شود. ابتدا کنسانتره مدنظر در ۲ حالت حضور و عدم حضور آلومینا به عنوان افزودنی خنثی آسیاکاری شد و پس از آن آزمون های انحلال در اسید نیتریک انجام شد. به منظور بررسی سینتیک انحلال اصلاحاتی در چند مرحله روی مدل معمول هسته کوچک شونده انجام شد. در هر مرحله مدل به دست آمده برازش بهتری بر داده ها نشان داد و در پایان مدلی جامع به دست آمد که اثر عوامل مؤثر بر میزان انحلال مولیبدنیت آسیاکاری شده را در خود دارد. مقادیر انرژی فعال سازی محاسبه شده نشان داد که در عدم حضور افزودنی، میزان اثر فعال سازی مکانیکی بر مولیبدنیت بیشتر است و حداقل میزان کاهش در مقدار انرژی فعال سازی انحلال برابر ۲۰ درصد و ۵۶ درصد به ترتیب برای نمونه های آسیاکاری شده به مدت ۴ و ۲۴ ساعت به دست آمد. در حالی که حداقل میزان کاهش در مقدار انرژی فعال سازی انحلال برای مولیبدنیت فعال سازی شده در حضور آلومینا، حدود ۳ درصد و ۶ درصد به ترتیب برای نمونه های آسیاکاری شده به مدت ۲ و ۱۲ ساعت به دست آمد.

واژه های کلیدی: مولیبدنیت، فعال سازی مکانیکی، انحلال، سینتیک، مدل سازی.

Development of a Kinetic Model for Predicting the Dissolution Behavior of Activated Molybdenite by Mechanical Activation

H. Shalchian H. Nasiri A. Babakhani M. Torabi Parizi

Abstract

In this research, leaching kinetic of activated molybdenite was studied. Mechanical activation of molybdenite concentrate was carried out at different conditions of milling and presence of alumina. Leaching experiments were performed in nitric acid media. The classic shrinking core model was modified, in order to study the leaching kinetic of activated molybdenite. The model was developed step by step. Finally, a comprehensive model was obtained which contains the effect of important parameters on the leaching rate of activated molybdenite. The calculated values of activation energy revealed that the activated molybdenite without additive is more reactive with the minimum of 20% and 56% reduction in activation energy value after 4 and 24 hours of milling, respectively. The minimum of 3% and 6% reduction in activation energy value was obtained for the activated molybdenite in presence of alumina after 2 and 12 hours of milling, respectively.

Key Words: Molybdenite, Mechanical Activation, Leaching, Kinetic, Modeling.

* تاریخ دریافت مقاله ۹۶/۱۰/۱۰ و تاریخ پذیرش آن ۹۸/۳/۲۵ می باشد.

Email: h.shalchian@um.ac.ir

(۱) نویسنده مسئول: دکتری مهندسی متالورژی و مواد، دانشکده مهندسی، دانشگاه فردوسی مشهد.

(۲) استادیار گروه مهندسی مواد، دانشکده مهندسی مکانیک و مواد، دانشگاه صنعتی بیرجند.

(۳) استاد گروه مهندسی متالورژی و مواد، دانشکده مهندسی، دانشگاه فردوسی مشهد.

(۴) دانش آموخته کارشناسی ارشد، امور تحقیق و توسعه، مجتمع مس سرچشمه کرمان.

مقدمه

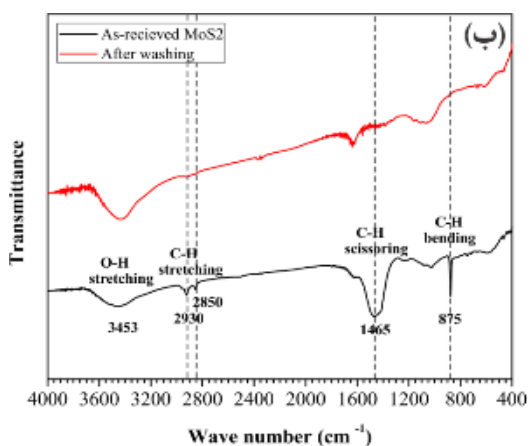
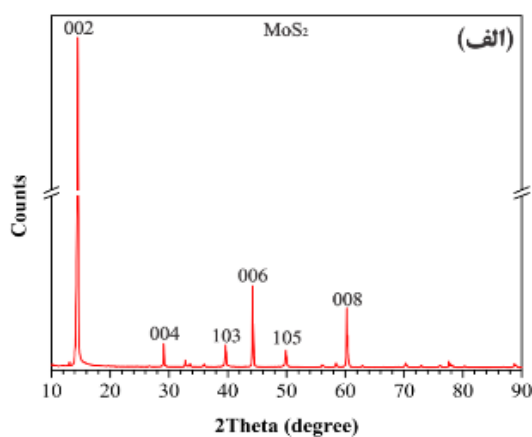
مولیبدن در طبیعت به‌طور متداول به‌شکل کانی مولیبدنیت MoS_2 یافت می‌شود. این ترکیب ماده اولیه اصلی برای تولید سایر ترکیبات مولیبدن است. فرایند متداول در این زمینه ابتدا تشویه و تولید اکسید مولیبدن و سپس تولید سایر ترکیبات است. فرایند تشویه باعث تولید گازهای آلاینده محیط زیست مانند SO_2 می‌شود. همچنین، در این فرایند بعضی فلزات خاص که در مقادیر کم در کنسانتره مولیبدنیت وجود دارند، همراه گازهای گوگردی خارج می‌شوند. به‌عنوان مثال اکسید رنیوم و اکسید سلنیوم را می‌توان نام برد که بازیابی اولی به‌لحاظ اقتصادی و بازیابی دومی به‌لحاظ جلوگیری از آسیب‌های زیست‌محیطی دارای اهمیت است [1]. برای رفع این مشکلات فرایند پیرومتالورژیکی تشویه، می‌توان از فرایندهای هیدرومتالورژیکی استفاده کرد که علاوه بر حذف تصاعد گازهای آلاینده گوگردی، اجازه بازیابی بیشتر فلزات موجود در کنسانتره را نیز می‌دهد. اما پایداری زیاد سولفید مولیبدن مشکلاتی را در این فرایند ایجاد می‌کند، زیرا انحلال آن دشوار است و به شرایط خاص نیاز دارد [2]. در این راستا مطالعاتی برای بهبود انحلال مولیبدنیت انجام شده است که می‌توان به انحلال اکسیدان تحت فشار (Pressure oxidative leaching) [3-5]، انحلال در حضور عاملی اکسیدان (Oxidizing agent) [6,7] و انحلال باکتریایی (Bio leaching) [8-10] اشاره کرد. در کنار این روش‌ها، فعال‌سازی مکانیکی کانی نیز از روش‌های متداول برای بهبود انحلال است [11]. فرایند شامل انجام آسیاکاری است که علاوه بر تولید ذرات ریز، با اعمال انرژی مکانیکی باعث افزایش کرنش و عیوب شبکه می‌شود. این تغییرات در ماده باعث افزایش انرژی آزاد گیبس ذرات و در نتیجه بهبود سرعت واکنش می‌شود [12,13]. فعال‌سازی دارای چندین اثر مفید بر انحلال است که می‌توان به افزایش انحلال انتخابی، بهبود سینتیک بازیابی فلز و بهبود شرایط انحلال اشاره کرد [13]. بررسی اثر فعال‌سازی مکانیکی بر میزان انحلال مولیبدنیت توسط محققان دیگر نیز انجام شده است [14,15]، اما مطالعات انجام‌شده در این زمینه محدود است. به‌خصوص اگر هدف ایجاد فرایندی صنعتی برای فراوری هیدرومتالورژیکی مولیبدنیت باشد، در این حالت مطالعه

سینتیک انحلال اهمیت پیدا می‌کند. از این‌رو در این تحقیق سینتیک انحلال مولیبدنیت فعال‌سازی شده در دو حالت حضور و عدم حضور آلومینا به‌عنوان افزودنی بررسی شد تا علاوه بر بررسی تأثیر زمان آسیاکاری، اثر حضور افزودنی اکسیدی و خنثی نیز بر میزان فعال‌سازی مکانیکی و به‌دنبال آن نرخ انحلال مولیبدنیت بررسی شود. زیرا نتایج یکی از تحقیقات نشان داد که حضور افزودنی اکسیدی باعث کاهش زمان واکنش مکانوشیمیایی احیای مولیبدنیت می‌شود [16]. بنابراین بررسی اثر حضور این نوع افزودنی در فرایند فعال‌سازی مکانیکی و انحلال مولیبدنیت نیز اهمیت پیدا کرد. در منابع معمولاً از مدل سینتیکی هسته کوچک‌شونده برای بررسی سینتیک انحلال استفاده می‌شود اما این مدل محدودیت‌هایی دارد [17]؛ از جمله این‌که این مدل برای ذرات کروی به‌خوبی استفاده می‌شود [18]، حال آن‌که درباره مولیبدنیت چنین نیست و ذرات لایه‌ای می‌باشند [19]. همچنین در این مدل غلظت اسید در طول واکنش ثابت فرض شده است اما در واقعیت چنین نیست و غلظت با زمان تغییر می‌کند. از طرف دیگر خواص فیزیکی و فاکتورهای مینرالورژیکی نیز می‌تواند پیچیدگی‌هایی را در واکنش‌های تحت کنترل شیمیایی به‌وجود آورد و نرخ واکنش را تحت تأثیر قرار دهد. این موارد شامل ساختار بلوری، جهت‌گیری صفحه‌ای، آخال‌ها، نابیایی‌ها و ناخالصی‌های محلول در ماده می‌باشد که باعث تغییر در فعالیت ماده و در نتیجه تغییر در نرخ واکنش می‌شود که معمولاً در بررسی واکنش‌های متالورژیکی از آن‌ها چشم‌پوشی می‌شود [18]. به‌خصوص درباره کانی فعال‌سازی شده به‌دلیل ایجاد عیوب در ساختار بلوری، این موارد تشدید می‌شود. از این‌رو، سد انرژی در مقابل انجام واکنش با گذشت زمان تغییر می‌کند. به‌عبارت دیگر انرژی فعال‌سازی با گذشت زمان افزایش می‌یابد [18,20].

وجود چنین محدودیت‌هایی اهمیت مطالعه عمیق‌تر سینتیک انحلال مولیبدنیت فعال‌سازی شده را که دارای ذراتی با شکل نامتعارف (غیرکروی) است، آشکار می‌کند. بنابراین، هدف این تحقیق توسعه مدلی مناسب و بهبود مدل سینتیکی هسته کوچک‌شونده است، به‌طوری‌که بتوان با استفاده از آن رفتار انحلال مولیبدنیت آسیاکاری شده را به‌درستی پیش‌بینی

موقعیت‌های ۸۷۵، ۱۶۶۵، ۲۸۵۰ و ۲۹۳۰ حذف شده‌اند که بیانگر حذف روغن موجود در کنسانتره است.

آلومینای استفاده‌شده در آزمون‌های فعال‌سازی، با درجه خلوص آزمایشگاهی تهیه شد (Sigma Aldrich) با خلوص بیشتر از ۹۸ درصد). آنالیز XRD از طریق دستگاه Philips Panalytical با آندی از جنس مس و تابش K- α انجام شد و نشان داد که اکسید آلومینیوم مدنظر از نوع کوراندوم است. الگوی پراش همراه با تصویر میکروسکوپ الکترونی روبشی (SEM) (Scanning Electron Microscopy) آن در شکل ۲ آمده است.



شکل ۱ (الف) الگوی پراش پرتو ایکس کنسانتره مولیبدنیت پس از حذف روغن، (ب) نتایج آنالیز FT-IR کنسانتره مولیبدنیت قبل و بعد از شست‌وشو

کرد. در پژوهش قبلی نویسندگان [21] به صورت مختصر مدل انرژی فعال‌سازی لحظه‌ای برای بیان سینتیک انحلال مولیبدنیت فعال‌سازی‌شده آمده است، اما در این تحقیق به صورت جامع و با جزئیات بیشتر با توسعه مدل‌های مختلف نحوه رسیدن به مدل انرژی فعال‌سازی لحظه‌ای از مدل معمول هسته کوچک‌شونده به صورت مرحله‌به‌مرحله بیان می‌شود.

مواد و روش تحقیق

مواد اولیه. کنسانتره مولیبدنیت استفاده‌شده در این تحقیق از معدن مس سرچشمه تهیه شد. آنالیز شیمیایی این کنسانتره نشان داد که حاوی بیش از ۵۵ درصد مولیبدن است (جدول ۱). برای انجام این آنالیز از روش حمله شیمیایی (Chemical attack) استفاده شد. در این روش مقدار مشخصی از کنسانتره در مخلوطی از اسید کلریدریک و اسید نیتریک به نسبت ۳ به ۱ حل شد. پس از آنالیز محلول و تعیین غلظت عناصر در آن، با استفاده از موازنه جرم درصد وزنی عناصر به دست آمد. الگوی پراش پرتو ایکس کنسانتره در شکل ۱-الف آمده است.

جدول ۱ آنالیز شیمیایی کنسانتره مولیبدنیت استفاده‌شده در این تحقیق

نامحلول	S	Cu	Fe	Mo	جزء
۴/۶۳	۳۸/۲۳	۰/۵۸	۰/۹۶	۵۵/۶	درصد وزنی

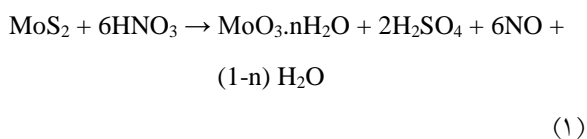
برای حذف روغن ناشی از فلوتاسیون بر سطح ذرات ابتدا مقداری از کنسانتره مولیبدنیت در استون (با خلوص آزمایشگاهی) و در شرایط نسبت جامد به مایع ۲۰ درصد و زمان ۱۵ دقیقه با همزن مغناطیسی (Steroglass company) شست‌وشو شد و پس از آن با استفاده از فیلتر خلأ (Milipore-vacuum pump and filter)، عمل فیلتراسیون انجام شد. پس از ۳ مرحله شست‌وشو با استون، کیک فیلتر حاصل در شرایطی مشابه با آب مقطر شست‌وشو شد. این مرحله نیز ۳ بار انجام شد و پس از آن کیک فیلتر نهایی در دمای ۱۰۵ °C خشک شد. طیف‌های FT-IR موجود شکل ۱-ب نشان می‌دهند که پیوندهای مربوط به ترکیبات آلی در

بررسی‌های میکروسکوپی (SEM-TEM) با دستگاه‌های ساخت شرکت Philips با ولتاژ کاری ۲۰kv و ۱۰۰kv انجام شد. نمونه‌های TEM ابتدا در اتانول توزیع شدند، سپس روی گرید قرار گرفتند و بررسی شدند.

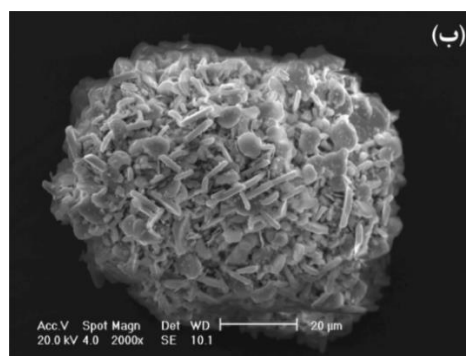
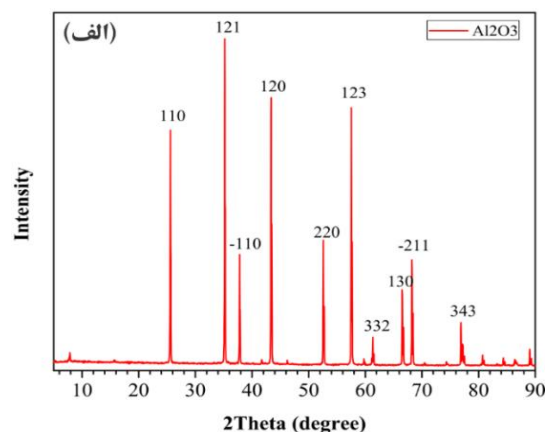
آزمون‌های انحلال

برای بررسی سینتیک انحلال، آزمون‌های انحلال نمونه‌های فعال‌شده در شرایط مختلف (در حضور و عدم حضور آلومینا) انجام شد. در این آزمون‌ها از اسیدنیتريك آزمایشگاهی برای تهیه محلول‌های با غلظت مدنظر استفاده شد. از روش طراحی مرکب مرکزی (Central Composite Design) (CCD) که یک روش آماری شناخته‌شده است، برای طراحی فضای آزمون‌های انحلال استفاده شد [22]. بدین منظور محدوده دمای بررسی شده بین ۳۰-۷۰ °C و غلظت اسید ۲ تا ۶ برابر مقدار استوکیومتری مورد نیاز برای انحلال مولیبدنیت در اسیدنیتريك انتخاب شد. سطوح مدنظر همراه با آزمون‌های طراحی شده با ۲ متغیر دما و غلظت اسید، به ترتیب در جدول ۳ و ۴ آمده است. لازم به ذکر است طراحی فوق با نرم‌افزار Design Expert 7.0 انجام شد و مقادیر α و $-\alpha$ نیز با نرم‌افزار مشخص شدند.

تعیین مقدار اسید در این آزمون‌ها براساس واکنش انحلال مولیبدنیت در اسیدنیتريك انتخاب شد که در یکی از منابع به صورت زیر پیشنهاد شده است [23]:



اطلاعات مربوط به میزان انحلال اکسید مولیبدیک و هیدرات‌های آن نشان می‌دهد که انحلال آن کم و در حدود ۱/۸۲ گرم بر لیتر برای $\text{MoO}_3 \cdot 2\text{H}_2\text{O}$ و ۲/۶۱ گرم بر لیتر برای $\text{MoO}_3 \cdot \text{H}_2\text{O}$ است [23]. بنابراین، برای جلوگیری از فوق‌اشباع شدن محلول و به‌دنبال آن تشکیل رسوبات اکسید مولیبدن آبدار پس از انحلال، از ۱/۳ گرم بر لیتر کنسانتره مولیبدنیت در هر آزمون انحلال استفاده شد. آزمون‌ها طبق فضای طراحی شده (جدول ۴) انجام شدند. لازم به ذکر



شکل ۲ الف) الگوی پراش و ب) تصویر میکروسکوپ الکترونی روبشی آلومینای استفاده‌شده در این تحقیق

آزمون‌های فعال‌سازی مکانیکی

پس از حذف روغن، آزمون‌های فعال‌سازی مکانیکی در آسیای گلوله‌ای ماهواره‌ای با ظرف‌ها و گلوله‌های فولادی (Tempered chrome steel) با شماره سفارش ۵۰/۷۰۹ ساخت شرکت FRITSCH و در ۲ گروه (در حضور و عدم حضور آلومینا) انجام شد که شرایط آن‌ها در جدول ۲ آمده است.

جدول ۲ شرایط انجام آزمون‌های فعال‌سازی مکانیکی

شماره آزمون	زمان (ساعت)	نسبت گلوله به پودر	سرعت (دور بر دقیقه)	درصد وزنی آلومینا
۱	۴	۴۰	۳۰۰	۰
۲	۲۴	۴۰	۳۰۰	۰
۳	۲	۴۰	۳۰۰	۵۰
۴	۱۲	۴۰	۳۰۰	۵۰

برای انجام اختلاط در محلول، از همزن مغناطیسی استفاده شد. نتایج برخی آزمون‌های ابتدایی نشان داد که در محدوده‌ای از سرعت که ذرات کاملاً در محلول معلق‌اند، سرعت هم‌زدن اثری بر میزان انحلال ندارد. بنابراین، سرعت هم‌زدن در تمام آزمون‌ها (rpm) ۵۰۰ انتخاب شد. پس از گذشت زمان مشخص، محلول حاصل به مدت ۵ دقیقه در سرعت (rpm) ۴۰۰۰ سانتریفیوژ شد و پس از تعیین غلظت مولیبدن در محلول، درصد انحلال محاسبه شد.

است که به منظور انجام مطالعات سینتیکی، آزمون‌های جدول ۴ در زمان‌های مختلف (۰ تا ۶ ساعت) انجام شدند. آزمون‌های انحلال در رآکتور شیشه‌ای دوجداره با حجم ۱ لیتر، با پوشش دارای آبگرد (Water jacketed glass reactor) انجام شدند. به منظور کنترل دمای رآکتور و آب در گردش نیز از حمام آبگرم مجهز به پمپ و با قابلیت تنظیم دما استفاده شد. در هر آزمون پس از تهیه محلول با غلظت مشخص، دمای رآکتور در مقدار مدنظر تنظیم و پس از آن کنسانتره مولیبدنیت به محلول موجود در رآکتور اضافه شد.

جدول ۳ سطوح مربوط به دما و غلظت اسید در طراحی آزمایش مدنظر

سطوح متغیرها					
$-\alpha$	-۱	۰	۱	$+\alpha$	متغیرها
۲۲	۳۰	۵۰	۷۰	۷۸	دما
۱/۱۷ (۰/۰۵۷)	۲ (۰/۰۹۸)	۴ (۰/۱۹۶)	۶ (۰/۲۹۴)	۶/۸۳ (۰/۳۳۵)	مقدار اسید* (M)

* مقدار اسید برحسب ضریبی از مقدار استوکیومتری گزارش شده است. همچنین اعداد موجود در پرانتزها غلظت محلول مدنظر را برحسب مولار نشان می‌دهند.

جدول ۴ آزمون‌های طراحی شده براساس روش CCD و با استفاده از ۲ متغیر دما و غلظت اسید

شماره آزمون	دما (°C)	مقدار اسید* (M)
۱	۳۰	۲ (۰/۰۹۸)
۲	۳۰	۶ (۰/۲۹۴)
۳	۷۰	۲ (۰/۰۹۸)
۴	۷۰	۶ (۰/۲۹۴)
۵	۲۲	۴ (۰/۱۹۶)
۶	۷۸	۴ (۰/۱۹۶)
۷	۵۰	۱/۱۷ (۰/۰۵۷)
۸	۵۰	۶/۸۳ (۰/۳۳۵)
۹	۵۰	۴ (۰/۱۹۶)
۱۰	۵۰	۴ (۰/۱۹۶)
۱۱	۵۰	۴ (۰/۱۹۶)

* مقدار اسید برحسب ضریبی از مقدار استوکیومتری گزارش شده است. همچنین اعداد موجود در پرانتزها غلظت محلول مدنظر را برحسب مولار نشان می‌دهند.

نتایج و بحث

در مطالعات سینتیکی معمولاً از مدل‌های هسته کوچک‌شونده و برازش آن‌ها بر داده‌های انحلال استفاده می‌شود و فرض بر این است که ذرات کرومی‌اند [17]. مدل معمول هسته کوچک‌شونده به صورت زیر هستند:

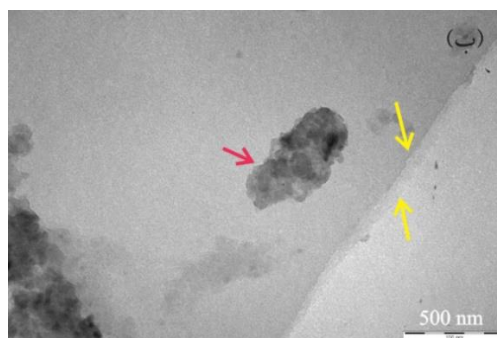
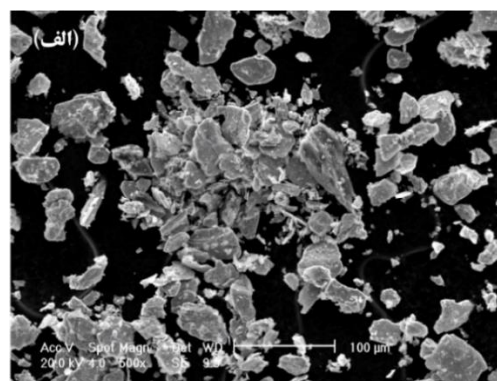
$$1 - (1 - X)^{\frac{2}{3}} = kt \quad (2)$$

$$1 - (1 - X)^{\frac{1}{3}} = kt \quad (3)$$

که X کسر انجام واکنش و t زمان است. روابط (2) و (3) به ترتیب معادلات سرعت مربوط به کنترل نفوذی از فیلم سیال و کنترل شیمیایی را نشان می‌دهند. نحوه توسعه این رابطه در مرجع مربوطه آمده است [17].

در منابع ذکر شده که در سیستم‌هایی که غلظت واکنش‌دهنده‌ها زیاد بوده است و ذرات از شکل هندسی متعارفی برخوردارند (ذرات کرومی)، برای مطالعه سرعت واکنش و بیان آن به صورت ریاضی مشکل چندانی وجود ندارد [18]. در صورتی که در این تحقیق، علاوه بر این که غلظت محلول‌ها نسبتاً پایین است، هندسه ذرات نیز نامتعارف بوده و فرایند فعال‌سازی با لایه‌ای کردن ذرات این اثر را تشدید کرده است و نیز باعث افزایش میزان عیوب بلوری در کانی می‌شود [19]. بنابراین، در حین انجام واکنش، نواحی با فعالیت شیمیایی بیشتر سریع‌تر واکنش می‌دهند و نواحی با فعالیت شیمیایی کمتر باقی می‌مانند و به مرور واکنش نشان می‌دهند. از این رو، سد انرژی در مقابل انجام واکنش با گذشت زمان تغییر می‌کند. به عبارت دیگر انرژی فعال‌سازی با گذشت زمان افزایش می‌یابد [18,20]. بنابراین، با توجه به این که سطوح قاعده مولیبدنیت به لحاظ شیمیایی غیرفعال بوده و گوشه‌ها و لبه‌ها مکان‌های فعال واکنشی است [24,25]، انتظار می‌رود ذرات دارای ابعاد مختلف، در هر ۲ حالت حضور و عدم حضور آلومینا، نرخ انحلال متفاوتی ایجاد کنند. ذرات ریزتر و نازک‌تر سریع‌تر حل می‌شوند و از بین می‌روند، در حالی که ذرات درشت‌تر باقی می‌مانند. همچنین، با پیشروی واکنش، غلظت اسید نیز تغییر خواهد کرد که در مدل‌های معمول هسته کوچک‌شونده از جمله مدل کنترل شیمیایی، غلظت اسید در سطح ذره در حین فرایند ثابت

تصویر SEM مولیبدنیت قبل از فعال‌سازی همراه با تصویر TEM نمونه فعال‌شده در عدم حضور آلومینا در شکل ۳ آمده است. این شکل نشان می‌دهد که در اثر فعال‌سازی هم لایه‌های بسیار نازک مولیبدنیت ایجاد می‌شوند و هم کلوخه‌هایی از ذرات ریز تشکیل می‌شوند. بنابراین، توزیعی از ذرات با ابعاد مختلف وجود دارد. نتایج تحقیقات پیشین نویسندگان نشان داد که در حضور آلومینا، فعال‌سازی مکانیکی مولیبدنیت اثر کمتری بر ساختار آن دارد و در این حالت کانی کمتر فعال می‌شود که نتایج آن در پژوهش دیگر آمده است [19]. بنابراین، پس از انجام فعال‌سازی مکانیکی انتظار بر این است که میزان انحلال نمونه‌های فعال شده در حضور آلومینا کمتر از ۲ حالت فعال‌شده در عدم حضور آلومینا باشد که نتایج انحلال نیز آن را اثبات کرد که در ادامه آمده است (نقاط تجربی شکل ۴ - الف تا د).

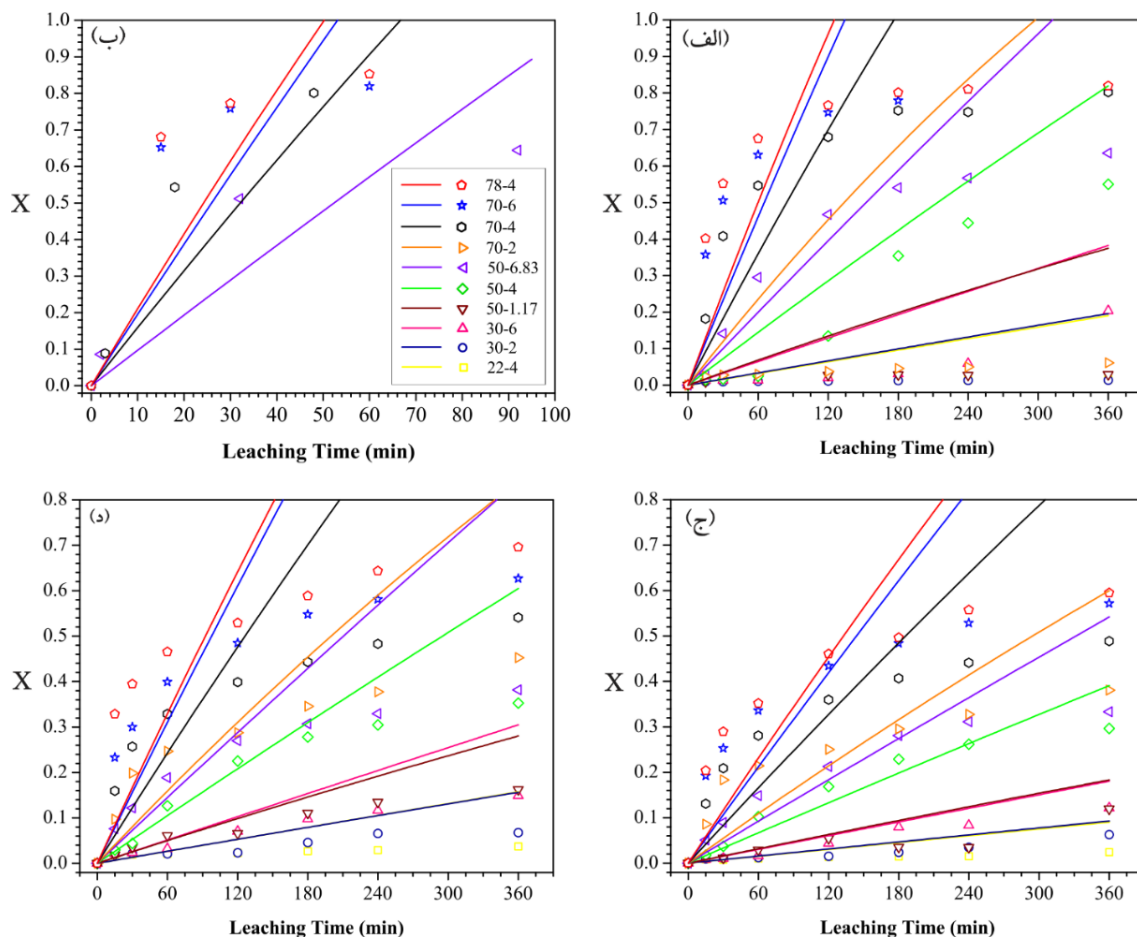


شکل ۳ (الف) تصویر SEM مولیبدنیت قبل از فعال‌سازی، (ب) تصویر TEM نمونه فعال‌سازی شده در عدم حضور آلومینا (پیکان قرمز زرد رنگ نشان‌دهنده لایه‌های بسیار نازک مولیبدنیت و پیکان قرمز نشان‌دهنده کلوخه‌ای از ذرات ریز است)

شکل متغیر بسیار سخت خواهد بود. اما می توان اثر عوامل را مرحله به مرحله در مدل معمول هسته کوچک شونده وارد کرد. به عنوان مثال می توان فرض کرد که پیچیدگی های مربوط به فعال سازی مکانیکی به صورت یک مقاومت کلی در برابر واکنش و به عنوان سد انرژی فعال سازی عمل می کند که می تواند با پیشروی واکنش تغییر کند. بدین طریق اثر تغییرات در میزان فعالیت ماده به طور ضمنی در مدل به دست آمده وجود خواهد داشت، زیرا محدوده ای از مقاومت در برابر واکنش یا انرژی فعال سازی برای انحلال ذرات مختلف در نظر گرفته شده است [18,26,27].

فرض می شود [17]. اما در واقعیت چنین نیست و با انجام واکنش، غلظت اسید کاهش می یابد که این اثر نیز بر پیچیدگی های مربوط به توسعه مدل مناسب می افزاید. وجود این پیچیدگی ها باعث می شود که مدل های معمول هسته کوچک شونده قادر به پیش بینی رفتار انحلال نباشند. بررسی های نویسندگان نیز نشان داد که هیچ کدام از این مدل ها برازش مناسبی بر داده های تجربی نداشتند که نتایج در تحقیق پیشین نویسندگان آمده است [21].

توصیف این شرایط پویا (Dynamic) به صورت ریاضی با در نظر گرفتن توزیعی از ذرات با میزان فعالیت و



شکل ۴. برازش مدل توسعه یافته متأثر از دما و غلظت اسید (رابطه ۴)، بر داده های حاصل از انحلال نمونه های فعال شده در شرایط مختلف: (الف) ۴ ساعت فعال سازی در عدم حضور آلومینا، (ب) ۲۴ ساعت فعال سازی در عدم حضور آلومینا، (ج) ۲ ساعت فعال سازی در حضور آلومینا، (د) ۱۲ ساعت فعال سازی در حضور آلومینا

(راهنمای نمودار: عدد اول بیانگر دمای انحلال و عدد دوم مقدار اسید بر حسب ضریبی از مقدار استوکیومتری مورد نیاز)

رابطه آرنیوس (رابطه ۶) در رابطه (۴) جاگذاری شد:

$$k = A \cdot \exp\left(\frac{-E}{RT}\right) \quad (6)$$

که ثابت فرکانس و E انرژی فعال‌سازی واکنش است. پس از آن با انجام برازش به وسیله روش حداقل مربعات، متغیرهای A ، E و m که متغیرهای آزاد این مدل‌اند، تعیین شدند که مقادیر آنها برای E حالت فعال‌سازی در جدول ۵ آمده است. پس از آن برای حل معادله و رسم منحنی X برحسب t ، این معادله به صورت عددی و با استفاده از روش رانجه-کوتا (Runge-Kutta) مرتبه ۴ حل شد.

جدول ۵ متغیرهای آزاد (ثوابت) محاسبه‌شده پس از برازش رابطه (۴) بر داده‌های تجربی E حالت فعال‌سازی

m	E (kJ/mol)	A	ثوابت
۰/۶	۴۲/۸	۱۰/۹	۴ ساعت فعال‌سازی بدون آلومینا
۰/۵	۳۵/۴	۹/۱	۲۴ ساعت فعال‌سازی بدون آلومینا
۰/۶	۴۲/۲	۹/۹	۲ ساعت فعال‌سازی با آلومینا
۰/۶	۳۹/۱	۹/۲	۱۲ ساعت فعال‌سازی با آلومینا

در داده‌های مربوط به انحلال در عدم حضور آلومینا نتایج نشان داد که کلوخه‌ای شدن باعث ایجاد نوعی تعویق در انحلال یا رفتاری شبیه به زمان نهفتگی می‌شود که این حالت در آزمون‌های انحلال در دماها و غلظت‌های اسید کمتر به وضوح دیده می‌شود [21]. همچنین نتایج نشان داد که با وجود انتخاب نسبت جامد به مایع کم، بازهم در دماهای بالا مقداری از مولیبدن محلول به شکل ترکیبات اکسیدی رسوب می‌کند [21].

بنابراین، برای انجام برازش در حالت ۲۴ ساعت بدون آلومینا، لازم است ابتدا اثر کلوخه‌ای شدن و رسوب‌دهی از منحنی مدنظر حذف شود. به همین دلیل فقط از آزمون‌های ۶/۸۳-۵۰، ۴-۷۰، ۶-۷۰ و ۴-۷۸ (برای حذف اثر کلوخه‌ای شدن) و زمان‌های ابتدایی استفاده شد و نیز ۲ منحنی ۶/۸۳-۵۰ و ۴-۷۰ به ترتیب به مقدار ۲۸ و ۱۲ دقیقه به سمت

بنابراین، برای توسعه مدل مناسب و به‌دست‌آوردن رابطه سرعت با در نظر گرفتن پیچیدگی‌های فوق، می‌توان حالات مختلف را به صورت مجزا و در نهایت همراه هم در نظر گرفت که به صورت زیر است:

۱. رابطه سرعت فقط متأثر از دما و غلظت اسید باشد؛
 ۲. رابطه سرعت فقط متأثر از دما و کسر انجام واکنش باشد؛
 ۳. رابطه سرعت متأثر از دما، غلظت اسید و کسر انجام واکنش باشد؛
 ۴. رابطه سرعت علاوه بر متأثر بودن از دما، غلظت اسید و کسر انجام واکنش، شامل اثر سایر پیچیدگی‌های یادشده (اثرات فعال‌سازی مکانیکی) نیز باشد.
- در ادامه این حالات به ترتیب بررسی می‌شوند.

بررسی رابطه سرعت متأثر از دما و غلظت اسید

برای بررسی اثر غلظت اسید بر سرعت واکنش انحلال می‌توان از رابطه زیر استفاده کرد:

$$r = \frac{dX}{dt} = k \cdot C^m \quad (4)$$

که در آن k ثابت سرعت بوده که طبق رابطه آرنیوس تابعی از دماست، C غلظت لحظه‌ای اسید و m درجه واکنش است. به عبارت دیگر سرعت واکنش انحلال علاوه بر دما متأثر از غلظت اسید نیز هست. غلظت لحظه‌ای اسید را می‌توان از اختلاف میزان اسید اولیه و اسید مصرف‌شده محاسبه کرد. به عبارت دیگر در هر لحظه، به اندازه کسر انجام واکنش از مقدار استوکیومتری اولیه اسید مصرف می‌شود. بنابراین، مقدار اسید مصرفی تا زمان مدنظر از حاصل ضرب کسر انجام واکنش در مقدار استوکیومتری اسید به دست می‌آید. با کم کردن این مقدار اسید مصرفی از کل اسید اولیه، غلظت لحظه‌ای اسید طبق رابطه زیر محاسبه می‌شود:

$$C = C_0 - XC_S \quad (5)$$

که در آن C_0 غلظت اولیه محلول، C_S غلظت استوکیومتری طبق رابطه (۱) و X کسر انجام واکنش است. برای برازش این مدل بر داده‌های تجربی از روش حداقل مربعات استفاده شد. بدین صورت که ابتدا مقدار k طبق

می‌توان فرض کرد که سرعت واکنش متناسب با مقدار مولیبدینیت باقی‌مانده در محلول و به بیان بهتر، متناسب با سطح باقی‌مانده است. پس با کاهش مقدار مولیبدینیت در محفظه واکنش، سطح کل کاهش و در نتیجه سرعت انحلال نیز کاهش می‌یابد. اگر کسر انجام واکنش X در نظر گرفته شود، مقدار مولیبدینیت باقی‌مانده متناسب با $(1-X)$ است. بنابراین، می‌توان نوشت:

$$r = \frac{dx}{dt} = k \cdot (1 - X)^n \quad (7)$$

که n درجه واکنش نسبت به مقدار مولیبدینیت باقی‌مانده است. مقادیر مربوط به متغیرهای آزاد A ، E و n برای ϵ حالت فعال‌سازی مکانیکی در جدول ۶ آمده است. نتایج حاصل از برازش این مدل بر داده‌های تجربی انحلال در این حالت نیز در ϵ حالت فعال‌سازی مکانیکی در شکل ۵ آمده است. در اینجا نیز شکل نشان می‌دهد که برازش نامناسب است، زیرا به دلیل نبود اثر غلظت اسید در رابطه فوق، منحنی برازش‌یافته در حالات با دمای یکسان و غلظت‌های اسید متفاوت روی هم افتاده‌اند، حال آن‌که در واقع چنین نیست. به‌عنوان مثال می‌توان به آزمون‌های ϵ -۵۰ و ϵ -۶۸۳ یا آزمون‌های ϵ -۷۰ و ϵ -۷۰ در تمام حالات فعال‌سازی اشاره کرد که در دمای ثابت ولی غلظت‌های متفاوت انجام شده‌اند و میزان انحلال در آن‌ها متفاوت است، ولی مدل برازش‌یافته (رابطه ۷) روند یکسانی برای هر ϵ حالت پیش‌بینی کرده و منحنی‌های آن‌ها دوبه‌دو روی هم افتاده‌اند (شکل ۵).

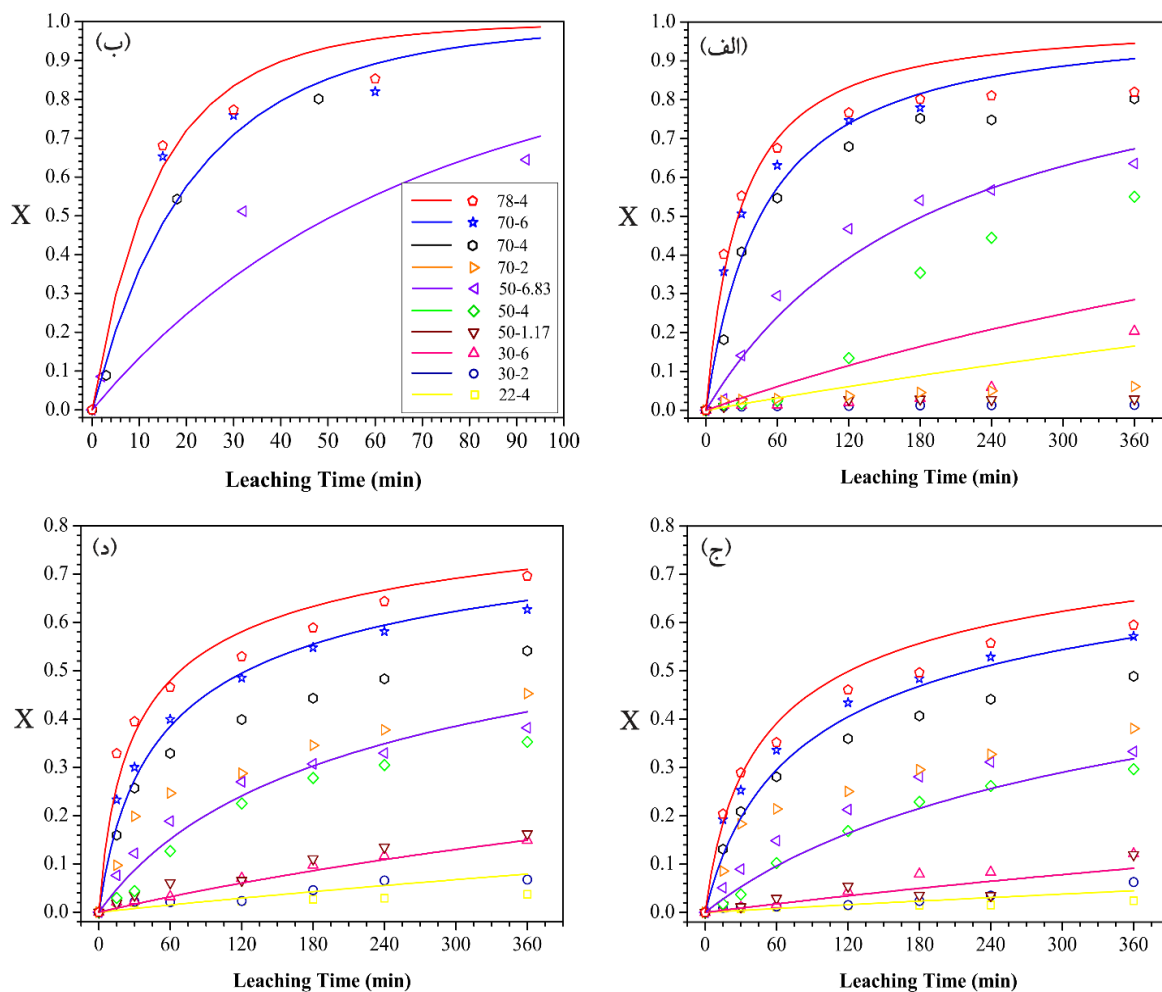
جدول ۶ متغیرهای آزاد (ثوابت) محاسبه شده پس از برازش رابطه (۷) بر داده‌های تجربی ϵ حالت فعال‌سازی

n	E (kJ/mol)	A	ثوابت
۱/۸۳	۶۳/۶	۱۸/۴	۴ ساعت فعال‌سازی بدون آلومینا
۱/۲	۵۳	۱۵/۵	۲۴ ساعت فعال‌سازی بدون آلومینا
۳/۹	۷۵/۳	۲۱/۸	۲ ساعت فعال‌سازی با آلومینا
۳/۸	۷۳/۵	۲۱/۷	۱۲ ساعت فعال‌سازی با آلومینا

چپ منتقل شدند تا اثر کلوخه‌ای شدن از ϵ منحنی حذف شود (شکل ۴ - ب). بنابراین، برای انجام برازش در این حالت، فقط از تعداد محدودی از نقاط استفاده شد (فقط از آزمون‌های ϵ -۶۸۳، ϵ -۵۰، ϵ -۷۰، ϵ -۶ و ϵ -۷۰ و زمان انحلال تا ۹۰ دقیقه). لازم به ذکر است که در نام‌گذاری آزمون‌ها عدد اول بیانگر دما و عدد دوم بیانگر مقدار اسید است. نتایج حاصل از برازش مدل رابطه ϵ بر داده‌های تجربی انحلال در ϵ حالت فعال‌سازی مکانیکی نشان می‌دهد که برازش در همه حالات نامناسب است (شکل ۴).

بررسی رابطه سرعت متأثر از دما و کسر انجام واکنش

در بررسی رابطه سرعت در حالت قبل شاید یکی از دلایل برازش نامناسب این است که اثر سطح انجام واکنش در رابطه در نظر گرفته نشده است. در واکنش‌های جامد-مایع هسته کوچک‌شونده، در حالتی که ذرات از شکل متعارفی برخوردارند (کروی)، می‌توان به راحتی از توابع ریاضی برای در نظر گرفتن تغییرات حجم و به تبع آن تغییرات سطح در حین انجام واکنش استفاده کرد. اما درباره مولیبدینیت با ساختار نامتعارف لایه‌ای، به‌ویژه پس از انجام فعال‌سازی مکانیکی، در نظر گرفتن چنین رابطه‌ای بسیار دشوار و شاید غیرممکن است. زیرا نمی‌توان روند مشخصی برای تغییرات اندازه ذرات و به دنبال آن تغییرات سطح در نظر گرفت و نوشتن چنین رابطه‌ای در صورت امکان، نیازمند در نظر گرفتن فرضیات زیادی برای ساده‌سازی خواهد بود. برای حل این مشکل می‌توان فقط به این حد بسنده کرد که کسر انجام واکنش تابعی از مقدار سطح درگیر در واکنش است و با پیشروی واکنش مقدار سطح کاهش می‌یابد. بنابراین، بررسی اثر کسر انجام واکنش بر سرعت انحلال، به‌نوعی بررسی اثر سطح بر نرخ انحلال است. بدین منظور می‌توان از رابطه‌ای مانند رابطه (۴) استفاده کرد، با این تفاوت که به جای غلظت اسید، سرعت واکنش با کسر انجام واکنش در ارتباط باشد. براساس مشاهدات (نقاط تجربی انحلال در نمودارها)



شکل ۵. برازش مدل توسعه یافته متأثر از دما و کسر انجام واکنش (رابطه ۷)، بر داده‌های حاصل از انحلال نمونه‌های فعال‌شده در شرایط مختلف: (الف) ۴ ساعت فعال‌سازی در عدم حضور آلومینا، (ب) ۲۴ ساعت فعال‌سازی در عدم حضور آلومینا، (ج) ۲ ساعت فعال‌سازی در حضور آلومینا، (د) ۱۲ ساعت فعال‌سازی در حضور آلومینا (راهنمای نمودار: عدد اول بیانگر دمای انحلال و عدد دوم مقدار اسید برحسب ضریبی از مقدار استوکیومتری مورد نیاز)

E ، m و n پس از برازش تعیین شده و در جدول ۷ آمده است. نتایج حاصل از برازش این مدل بر داده‌های تجربی انحلال در این حالت نیز در ۴ حالت فعال‌سازی مکانیکی در شکل ۶ آمده است. بررسی این شکل نشان می‌دهد که در این حالت برازش بهتری نسبت به حالات قبل به دست آمده است. بنابراین، می‌توان نتیجه گرفت که برای پیش‌بینی بهتر رفتار انحلال مولیبدنیت فعال‌سازی شده در اسیدنیتریک، در نظر گرفتن اثر هم‌زمان مقدار واکنش‌دهنده‌ها (غلظت اسید و مقدار مولیبدنیت باقی‌مانده) در رابطه سرعت لازم است.

بررسی رابطه سرعت متأثر از دما، غلظت اسید و کسر انجام واکنش

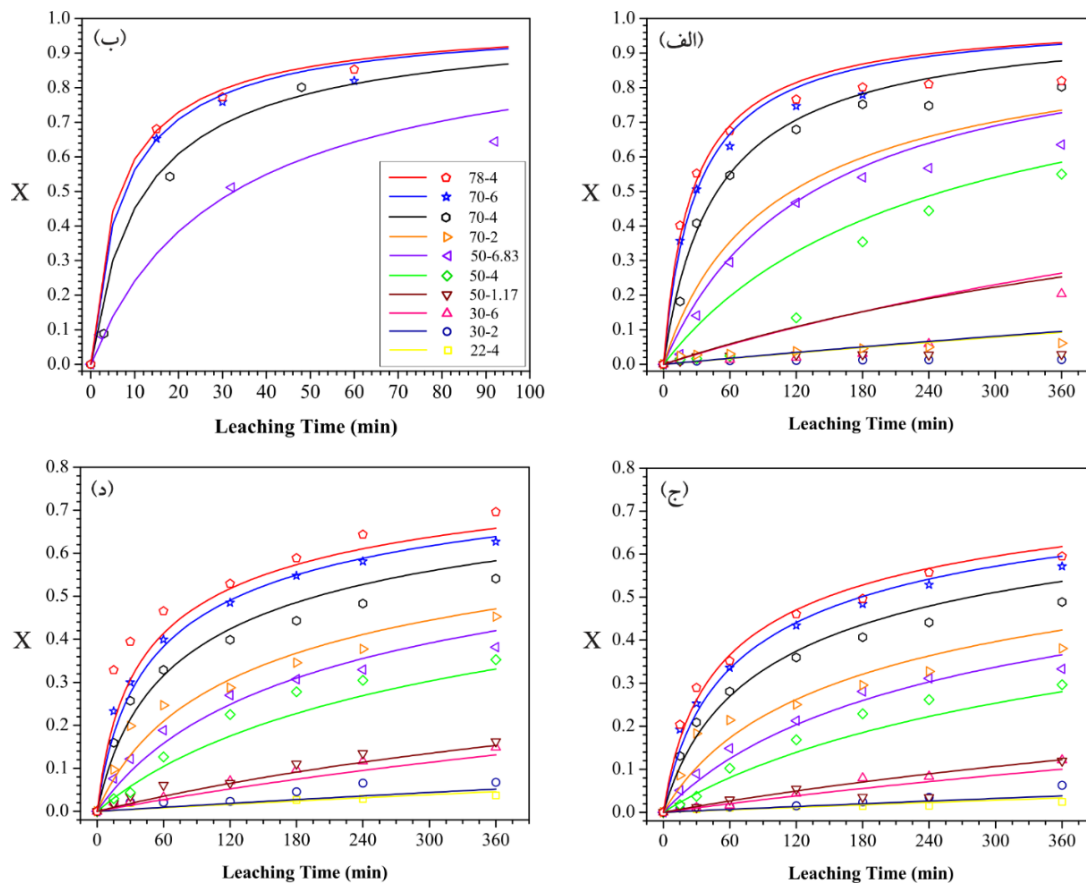
برای بررسی اثر هم‌زمان غلظت اسید و کسر انجام واکنش می‌توان رابطه سرعت را به شکل زیر در نظر گرفت:

$$r = \frac{dX}{dt} = k \cdot C^m \cdot (1 - X)^n \quad (8)$$

که در آن سرعت انجام واکنش انحلال متناسب با غلظت لحظه‌ای اسید و مقدار مولیبدنیت باقی‌مانده در محفظه واکنش است. در این حالت نیز مقادیر مربوط به متغیرهای آزاد A ،

جدول ۷ متغیرهای آزاد (ثوابت) محاسبه شده پس از برازش رابطه (۸) بر داده‌های تجربی ۴ حالت فعال‌سازی

n	m	E (kJ/mol)	A	ثوابت
۱/۹	۱/۱	۷۵/۷	۲۴/۵	۴ساعت فعال‌سازی بدون آلومینا
۲	۱	۶۸/۹	۲۳/۳	۲۴ساعت فعال‌سازی بدون آلومینا
۳/۹	۱	۷۸/۷	۲۴/۵	۲ساعت فعال‌سازی با آلومینا
۳/۸	۱	۷۷/۶	۲۴/۴	۱۲ساعت فعال‌سازی با آلومینا



شکل ۶ برازش مدل توسعه یافته متأثر از دما، غلظت اسید و کسر انجام واکنش (رابطه ۸)، بر داده‌های حاصل از انحلال نمونه‌های فعال‌شده در شرایط مختلف: (الف) ۴ساعت فعال‌سازی در عدم حضور آلومینا، (ب) ۲۴ساعت فعال‌سازی در عدم حضور آلومینا، (ج) ۲ساعت فعال‌سازی در حضور آلومینا، (د) ۱۲ساعت فعال‌سازی در حضور آلومینا

(راهنمای نمودار: عدد اول بیانگر دمای انحلال و عدد دوم مقدار اسید برحسب ضریبی از مقدار استوکیومتری مورد نیاز)

دارد، بنابراین، انرژی فعال‌سازی واکنش انحلال برای هرکدام از آن‌ها با یکدیگر متفاوت است. پس در محفظه واکنش مجموعه‌ای از ذرات با مقادیر انرژی فعال‌سازی انحلال متفاوت حضور دارند که هرکدام با سرعت متفاوتی در حال

توسعه مدل سینتیکی انرژی فعال‌سازی لحظه‌ای

باتوجه به این‌که ذرات مختلف مولبدنیت در حین فعال‌سازی مکانیکی هرکدام به مقدار متفاوتی فعال شده‌اند و در محصول فعال‌شده توزیعی از ذرات با میزان فعالیت متفاوت وجود

$$k = A \cdot \exp\left(\frac{-\left(\frac{E^0}{R}\right) - \left(\frac{E^0 \alpha}{R}\right) \cdot (1-X)}{T}\right) \quad (11)$$

$$\frac{E^0 \alpha}{R} = b_1 \quad (12)$$

$$\frac{E^0}{R} = b_2 \quad (13)$$

$$A = e^{b_3} \quad (14)$$

با جاگذاری روابط فوق در رابطه سرعت (رابطه ۱۰)، معادله نهایی به شکل زیر نوشته می‌شود:

$$\frac{dX}{dt} = \exp\left(\frac{b_1(1-X) - b_2}{T} + b_3\right) (1-X)^n (C_0 - XC_s)^m \quad (15)$$

در نهایت رابطه خطی بین انرژی فعال‌سازی و کسر انجام واکنش به صورت زیر خواهد بود:

$$E = -R(b_1(1-X) - b_2) \quad (16)$$

طبق رابطه (۱۵) می‌توان دریافت که این رابطه برای تمام حالات دما و غلظت اسید استفاده می‌شود. در اینجا می‌توان این رابطه را بر همه آزمون‌های انحلال برازش کرد و بدین طریق مدلی جامع به دست می‌آید که نرخ واکنش را در همه شرایط دمایی و غلظتی (در محدوده طراحی شده) پیش‌بینی خواهد کرد.

نتایج حاصل از برازش مدل فوق (رابطه ۱۵) بر داده‌های تجربی انحلال در ۴ حالت فعال‌سازی مکانیکی در شکل ۷ آمده است. به دلیل وجود اثرات کلوخه‌ای شدن و اشباع شدن محلول، برازش در ۲ حالت فعال‌سازی بدون آلومینا به سختی انجام شد (شکل ۷ - الف و ب). به طوری که در حالت ۲۴ ساعت فعال‌سازی مانند حالات قبل همچنان غیرممکن بود. به دلیل وجود اثر کلوخه‌ای شدن، در حالت ۴ ساعت فعال‌سازی در عدم حضور آلومینا، برازش فقط بر داده‌های مربوط به دماها و غلظت‌های زیاد انجام شد که برازش مقبولی به دست آمد. با استفاده از مدل برازش شده می‌توان میزان انحلال در عدم حضور اثرات کلوخه‌ای شدن و اشباع محلول را پیش‌بینی کرد. به طوری که مثلاً با حذف داده‌های قبل از ۲ ساعت مربوط به حالت انحلال ۴-۵۰ (نقاط سبز رنگ) و

حل شدن است.

بدین ترتیب، انرژی فعال‌سازی کلی واکنش انحلال (مجموعه ذرات) متغیر بوده است و در هر لحظه می‌تواند تابعی از مقدار مولیبدنیت باقی‌مانده در نظر گرفته شود. در فرایند انحلال مولیبدنیت فعال‌شده ابتدا ذرات فعال‌تر با سرعت بیشتر واکنش می‌دهند تا حذف شوند و ذرات با فعالیت کمتر به مرور و با سرعت کمتری به واکنش خود ادامه می‌دهند. بنابراین، انتظار می‌رود که مقدار انرژی فعال‌سازی انحلال تابعی از کسر انجام واکنش بوده باشد و با پیشروی واکنش و حذف ذرات فعال‌تر افزایش یابد. ساده‌ترین و مناسب‌ترین رابطه بین این دو به لحاظ محاسباتی می‌تواند یک رابطه خطی باشد، به طوری که کاهش مقدار مولیبدنیت در محفظه واکنش، همراه با افزایش انرژی فعال‌سازی باشد. بدین منظور می‌توان رابطه‌ای به شکل زیر نوشت:

$$E = E^0(1 - \alpha(1 - X)) \quad (9)$$

که در آن α ثابت، X کسر انجام واکنش (عددی بین صفر و یک)، E^0 انرژی فعال‌سازی انحلال آخرین ذرات مولیبدنیت (مراحل نهایی انحلال) و E انرژی فعال‌سازی در هر لحظه از واکنش است که همواره کمتر یا مساوی با انرژی فعال‌سازی مراحل نهایی است:

$$\begin{cases} X < 1 & \rightarrow E < E^0 \\ X = 1 & \rightarrow E = E^0 \end{cases}$$

از طرف دیگر، براساس نتایج قبل مشخص شد که نرخ پیش‌روی واکنش علاوه بر دما، متناسب با مقدار مولیبدنیت باقی‌مانده و غلظت اسید موجود در محلول در هر لحظه است:

$$r = \frac{dX}{dt} = k \cdot C^m \cdot (1 - X)^n \quad (10)$$

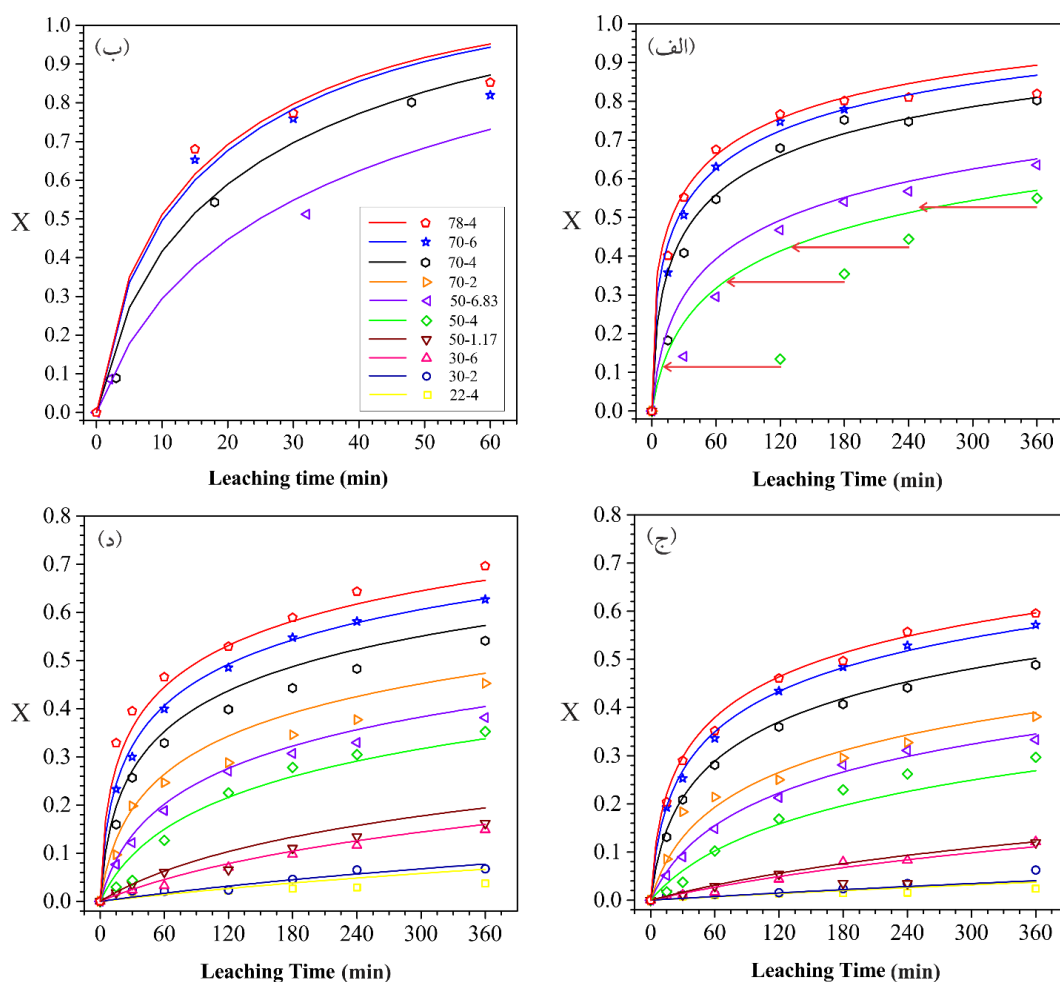
که در آن k ثابت سرعت، C غلظت لحظه‌ای اسید و n و m درجه واکنش نسبت به مقدار مولیبدنیت و غلظت اسید می‌باشند. غلظت لحظه‌ای اسید نیز طبق رابطه (۵) قابل محاسبه است. مقدار k نیز طبق رابطه آرنیوس (رابطه ۶) در این رابطه جاگذاری شد.

با جاگذاری E از رابطه (۹) می‌توان نوشت:

به ترتیب به مقدار ۲۸ و ۱۲ دقیقه به سمت چپ منتقل شدند تا اثر کلوخه‌ای شدن از ۲ منحنی حذف شود (شکل ۷ - ب). لازم به ذکر است به دلیل انجام اصلاحات فوق، انتظار می‌رود مقدار خطای برازش در این حالت بیشتر از سایر حالات باشد. زیرا برازش فقط با استفاده از داده‌های مربوط به دماهای بالا و زمان‌های اولیه انحلال انجام شد. برازش تمام آزمون‌های این حالت در شکل ۸ آمده است. با فرض صحیح بودن برازش، در این حالت نیز می‌توان درصد انحلال پیش‌بینی شده برای سایر حالات (دماهای پایین) در عدم حضور اثرات کلوخه‌ای شدن و اشباع محلول را مشاهده کرد.

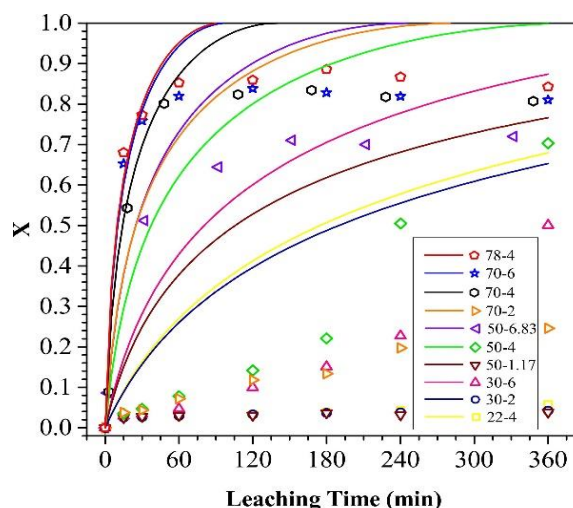
انتقال سایر داده‌ها به مقدار تقریبی ۲ ساعت به سمت چپ، این نقاط روی منحنی پیش‌بینی شده مدل (منحنی سبزرنگ) قرار خواهند گرفت (شکل ۷ - الف). به بیان دیگر، کلوخه‌ای شدن حدود ۲ ساعت انحلال را به تعویق انداخته است.

برای انجام برازش در حالت ۲۴ ساعت بدون آلومینا نیز اصلاحات مربوط به حذف اثر کلوخه‌ای شدن و رسوب‌دهی انجام شد. به همین دلیل فقط از آزمون‌های ۸۳/۶-۵۰، ۴-۷۰، ۶-۷۰، ۷۰-۴ (برای حذف اثر کلوخه‌ای شدن) و ۸۳/۶-۵۰ و ۴-۷۰ منحنی ۲ استفاده شد و



شکل ۷. برازش مدل توسعه یافته انرژی فعال‌سازی لحظه‌ای (رابطه ۱۵)، بر داده‌های حاصل از انحلال نمونه‌های فعال‌شده در شرایط مختلف: (الف) ۲۴ ساعت فعال‌سازی در عدم حضور آلومینا، (ب) ۲۴ ساعت فعال‌سازی در عدم حضور آلومینا، (ج) ۱۲ ساعت فعال‌سازی در حضور آلومینا، (د) ۱۲ ساعت فعال‌سازی در حضور آلومینا (راهنمای نمودار: عدد اول بیانگر دمای انحلال و عدد دوم مقدار اسید برحسب ضریبی از مقدار استوکیومتری مورد نیاز)

خوبی برخوردار است. مقادیر R^2 مربوط به هر حالت برازش در جدول ۸ آمده است. نتایج این جدول نیز بیانگر برازش بهتر در آزمون‌های فعال‌سازی در حضور آلومیناست. ثوابت مدل برازش‌یافته در هر حالت همراه با مقادیر انرژی فعال‌سازی محاسبه‌شده پس از برازش در جدول ۹ آمده است. لازم به ذکر است که مقدار انرژی فعال‌سازی مولیبدنیت بدون فعال‌سازی مکانیکی از روش معمول هسته کوچک‌شونده محاسبه شده که نتایج در پژوهش پیشین نویسندگان آمده است [21]. مقایسه مقادیر انرژی فعال‌سازی محاسبه‌شده نمونه‌های آسیاکاری‌شده با انرژی فعال‌سازی مولیبدنیت قبل از آسیاکاری نشان می‌دهد که در مورد حالت فعال‌سازی بدون آلومینا، مقدار کاهش انرژی فعال‌سازی بین ۲۰ تا ۳۳ درصد و ۵۶ تا ۶۱ درصد به ترتیب برای نمونه‌های ۴ و ۲۴ ساعت فعال‌سازی شده و در حضور آلومینا بین ۳ تا ۱۹ درصد و ۵ تا ۲۲ درصد به ترتیب برای نمونه‌های ۲ و ۱۲ ساعت فعال‌سازی شده است که بیانگر میزان فعال‌شدن کمتر مولیبدنیت در حضور آلومینا و اثر کمتر زمان فعال‌سازی در حضور آلومیناست.



شکل ۸ برازش مدل توسعه‌یافته انرژی فعال‌سازی لحظه‌ای (رابطه ۱۵)، بر تمام داده‌های حاصل از انحلال نمونه ۲۴ ساعت فعال‌سازی در عدم حضور آلومینا (راهنمای نمودار: عدد اول بیانگر دمای انحلال و عدد دوم مقدار اسید برحسب ضریبی از مقدار استوکیومتری مورد نیاز)

شکل (۷ - ج و د) نشان می‌دهد که برای نمونه‌های فعال‌شده در حضور آلومینا به دلیل نبود اثرات کلوخه‌ای شدن و اشباع محلول، برازش مدل در تمام آزمون‌ها از کیفیت بسیار

جدول ۸ مقدار R^2 حاصل از برازش مدل توسعه‌یافته انرژی فعال‌سازی لحظه‌ای بر آزمون‌های انحلال در حالات مختلف فعال‌سازی مکانیکی

مقدار R^2				آزمون انحلال
۱۲ ساعت فعال‌سازی در حضور آلومینا	۲ ساعت فعال‌سازی در حضور آلومینا	۲۴ ساعت فعال‌سازی بدون آلومینا	۴ ساعت فعال‌سازی بدون آلومینا	
۰/۷۲۳۳	۰/۸۶۵۰	-	-	۴-۲۲
۰/۸۹۵۵	۰/۹۲۲۴	-	-	۲-۳۰
۰/۹۹۰۳	۰/۹۷۹۴	-	-	۶-۳۰
۰/۹۷۷۶	۰/۷۱۴۱	-	-	۵۰- ۱/۱۷
۰/۹۸۰۳	۰/۹۸۹۶	-	۰/۷۷۶۷	۴-۵۰
۰/۹۹۸۴	۰/۹۹۳۵	۰/۹۷۳۱	۰/۹۸۷۱	۵۰- ۶/۸۳
۰/۹۸۵۴	۰/۹۷۳۲	-	-	۲-۷۰
۰/۹۹۷۰	۰/۹۹۹۵	۰/۹۵۱۸	۰/۹۵۶۵	۴-۷۰
۰/۹۹۸۴	۰/۹۹۸۲	۰/۹۸۷۰	۰/۹۸۸۱	۶-۷۰
۰/۹۹۳۶	۰/۹۹۶۶	۰/۹۷۶۵	۰/۹۸۵۷	۴-۷۸

جدول ۹ ثوابت مدل برازش شده بر آزمون‌های انحلال همراه با محدوده انرژی فعال‌سازی در هر حالت

ثوابت	بدون فعال‌سازی	۴ ساعت فعال‌سازی بدون آلومینا	۲۴ ساعت فعال‌سازی بدون آلومینا	۲ ساعت فعال‌سازی در حضور آلومینا	۱۲ ساعت فعال‌سازی در حضور آلومینا
b_1	-	۱۷۰۰	۷۰۰	۲۱۰۰	۲۲۰۰
b_2	-	۱۰۳۰۰	۵۶۹۰	۱۲۵۳۰	۱۲۱۹۰
b_3	-	۲۴/۱	۱۳/۱	۲۸/۳	۲۷/۲
n	-	۰/۷	۰/۵	۱	۰/۷
m	-	۱	۰/۷	۱/۲	۱
انرژی فعال‌سازی (kJ/mole)	۱۰۷	۷۱ - ۸۵	۴۷ - ۴۱	۸۶ - ۱۰۴	۸۳ - ۱۰۱

نتیجه‌گیری

بر میزان فعال‌شدن ذرات مختلف نیز در مدل وارد شد و مدلی جامع به دست آمد که نتایج برازش نشان داد این مدل به خوبی می‌تواند میزان انحلال مولیبدنیت فعال‌شده را پیش‌بینی کند. بر طبق این مدل محدوده تغییرات انرژی فعال‌سازی واکنش انحلال برای مولیبدنیت فعال‌شده به مدت ۴ و ۲۴ ساعت در عدم حضور افزودنی به ترتیب بین ۷۱ تا ۸۵ و ۴۱ تا ۴۷ کیلوژول بر مول و برای مولیبدنیت فعال‌شده به مدت ۲ و ۱۲ ساعت در حضور آلومینا به ترتیب بین ۸۶ تا ۱۰۴ و ۸۳ تا ۱۰۱ کیلوژول بر مول به دست آمد.

تشکر و قدردانی

نویسندگان بر خود لازم می‌دانند از دانشگاه فردوسی مشهد و مجتمع مس سرچشمه به دلیل حمایت مالی برای انجام این پژوهش قدردانی کنند.

در این تحقیق سعی شد با اعمال تغییراتی در مدل معمول هسته کوچک‌شونده، مدلی سینتیکی توسعه یابد تا بتواند میزان انحلال مولیبدنیت فعال‌سازی شده به روش مکانیکی در شرایط مختلف حضور و عدم حضور افزودنی را پیش‌بینی کند. بدین منظور ابتدا رابطه‌ای به دست آمد که با استفاده از آن می‌توان اثر غلظت لحظه‌ای اسید را در نرخ انحلال وارد کرد. پس از آن، با ارتباط دادن نرخ انحلال به کسر انجام واکنش، ارتباط بین مقدار مولیبدنیت باقی‌مانده یا سطح درگیر در واکنش با نرخ انحلال برقرار شد. پس از آن، با در نظر گرفتن این دو اثر (غلظت لحظه‌ای اسید و مقدار مولیبدنیت باقی‌مانده) مدلی با برازش نسبتاً خوب به دست آمد. در نهایت با ایجاد رابطه‌ای بین انرژی فعال‌سازی و کسر انجام واکنش، پیچیدگی‌های ناشی از اثر فعال‌سازی مکانیکی

مراجع

- Sebenik, R. F., Burkin, A. R., Dorfler, R. R., Laferty, J. M., Leichtfried, G., Meyer-Grünow, H., Mitchell, P. C., Vukasovich, M. S., Church, D. A., Van Riper, G. G., "Molybdenum and molybdenum compounds", Ullmann's Encyclopedia of Industrial Chemistry, (2000).
- Bafghi, M. S., Emami, A., Zakeri, A., Khaki, J. V., "Effect of mechanical activation on the kinetics of leaching of chalcopyrite in the ferric sulfate media", *Iranian Journal of Materials Science & Engineering*, Vol. 7, pp. 30-35, (2010).
- Ashraf, M., "Hydrometallurgical recovery of molybdenum from Egyptian Qattar molybdenite concentrate", *Physicochemical Problems of Mineral Processing*, Vol. 47, pp. 105-112, (2011).

4. Jiang, K., Wang, Y., Zou, X., Zhang, L., Liu, S., "Extraction of molybdenum from molybdenite concentrates with hydrometallurgical processing", *Journal of The Minerals, Metals & Materials Society*, Vol. 64, pp. 1285-1289, (2012).
5. Khoshnevisan, A., Yoozbashizadeh, H., Mozammel, M., Sadrnezhaad, S. K., "Kinetics of pressure oxidative leaching of molybdenite concentrate by nitric acid", *Hydrometallurgy*, Vol. 111, pp. 52-57, (2012).
6. Antonijević, M., Pacović, N., "Investigation of molybdenite oxidation by sodium dichromate", *Minerals Engineering*, Vol. 5, pp. 223-233, (1992).
7. Cao, Z. -f., Zhong, H., Qiu, Z. -h., Liu, G. -y., Zhang, W. -x., "A novel technology for molybdenum extraction from molybdenite concentrate", *Hydrometallurgy*, Vol. 99, pp. 2-6, (2009).
8. Abdollahi, H., Shafaei, S., Noaparast, M., Manafi, Z., Aslan, N., "Bio-dissolution of Cu, Mo and Re from molybdenite concentrate using mix mesophilic microorganism in shake flask", *Transactions of Nonferrous Metals Society of China*, Vol. 23, pp. 219-230, (2013).
9. Olson, G. J., Clark, T. R., "Bioleaching of molybdenite", *Hydrometallurgy*, Vol. 93, pp. 10-15, (2008).
10. Zamani, M. A., Hiroyoshi, N., Tsunekawa, M., Vaghar, R., Oliazadeh, M., "Bioleaching of Sarcheshmeh molybdenite concentrate for extraction of rhenium", *Hydrometallurgy*, Vol. 80, pp. 23-31, (2005).
11. Hu, H., Chen, Q., Yin, Z., Zhang, P., Guo, G., Gottstein, G., "Structural change of mechanically activated molybdenite and the effect of mechanical activation on molybdenite", *Metallurgical and Materials Transactions B*, Vol. 35, pp. 1203-1207, (2004).
12. Ebrahimi-Kahrizsangi, R., Abbasi, M. H., Saidi, A., "Mechanochemical effects on the molybdenite roasting kinetics", *Chemical Engineering Journal*, Vol. 121, pp. 65-71, (2006).
13. Kumar, S., Alex, T., Kumar, R., "Mechanical Activation of Solids in Extractive Metallurgy", Research group at NML, (2008).
14. Zhao, Z.W., Li, H. G., Sun, P. M., Li, Y. J., Huo, G. S., "Influence of crystal structure on mechanical activation effect", *Transactions of the Nonferrous Metals Society of China*, Vol. 13, pp. 188-194, (2003).
۱۵. رضا ابراهیمی، محمدحسن عباسی، علی سعیدی، محمد جمالی، جلیل سلیمانی، «اثر فعال‌سازی مکانیکی بر سرعت انحلال مولیبدنیت»، هشتمین کنگره سالانه انجمن مهندسين متالورژی ایران، دانشگاه صنعتی اصفهان، (۱۳۸۳).
16. Hoseinpur, A., Mohammadi Bezanaj, M., Vahdati Khaki, J., "The effect of Al₂O₃ and CaO presence on the kinetics of mechanochemical reduction of MoS₂ by Zn", *Journal of Alloys and Compounds*, Vol. 587, pp. 646-651, (2014).
17. Levenspiel, O., Levenspiel, C., "Chemical reaction engineering", Wiley New York etc., (1972).
18. Brittan, M., "Variable activation energy model for leaching kinetics", *International journal of mineral processing*, Vol. 2, pp. 321-331, (1975).
19. Shalchian, H., Vahdati Khaki, J., Babakhani, A., Taglieri, G., De Michelis, I., Daniele, V., Veglio, F., "On the mechanism of molybdenite exfoliation during mechanical milling", *Ceramics International*, Vol. 43, pp.

- 12957-12967, (2017).
20. Prosser, A., "Influence of mineralogical factors on the rates of chemical reaction of minerals", 9th Commonwealth Mineral Metallurgy Congress, (1969).
 21. Shalchian, H., Vahdati Khaki, J., Babakhani, A., De Michelis, I., Veglio, F., Torabi Parizi, M., "An enhanced dissolution rate of molybdenite and variable activation energy", *Hydrometallurgy*, Vol. 175, pp. 52-63, (2018).
 22. Montgomery, D. C., Runger, G. C., "Applied statistics and probability for engineers", John Wiley & Sons, (2010).
 23. Vizsolyi, A., Peters, E., "Nitric acid leaching of molybdenite concentrates", *Hydrometallurgy*, Vol. 6, pp. 103-119, (1980).
 24. Wang, D., Wang, Z., Wang, C., Zhou, P., Wu, Z., Liu, Z., "Distorted MoS₂ nanostructures: An efficient catalyst for the electrochemical hydrogen evolution reaction", *Electrochemistry Communications*, Vol. 34, pp. 219-222, (2013).
 25. Ambrosi, A., Chia, X., Sofer, Z., Pumera, M., "Enhancement of electrochemical and catalytic properties of MoS₂ through ball-milling", *Electrochemistry Communications*, Vol. 54, pp. 36-40, (2015).
 26. Beolchini, F., Papini, M.P., Toro, L., Trifoni, M., Vegliò, F., "Acid leaching of manganiferous ores by sucrose: kinetic modelling and related statistical analysis", *Minerals Engineering*, Vol. 14, pp. 175-184, (2001).
 27. Veglio, F., Trifoni, M., Pagnanelli, F., Toro, L., "Shrinking core model with variable activation energy: a kinetic model of manganiferous ore leaching with sulphuric acid and lactose", *Hydrometallurgy*, Vol. 60, pp. 167-179, (2001).

